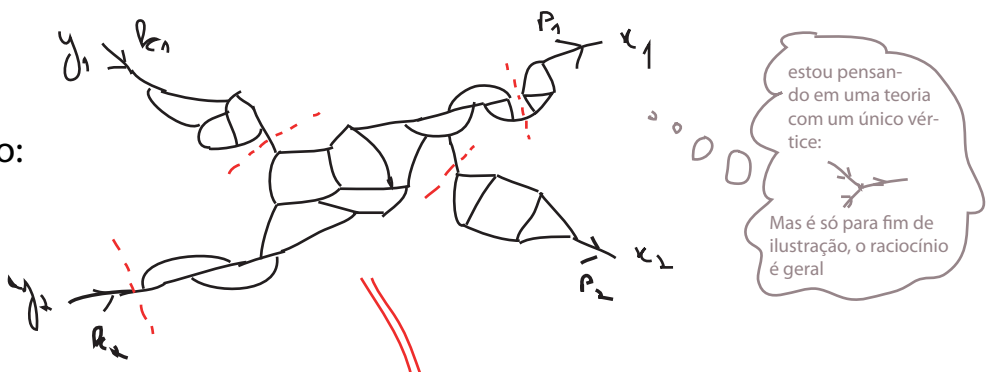


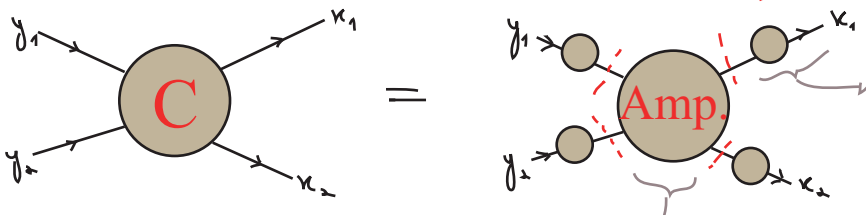
A função de quatro pontos no espaço dos momentos é:

$$\left( \prod_1^2 \int d^4 k_i e^{i P_i x_i} \right) \left( \prod_1^2 \int d^4 y_i e^{-i k_i y_i} \right) \langle \Omega | T \{ \phi(x_1) \phi(x_2) \phi(y_1) \phi(y_2) \} | \Omega \rangle$$

Isso pode ser bem complicado:



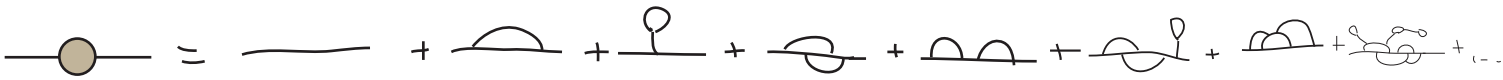
Mas podemos agrupar as correções da seguinte forma



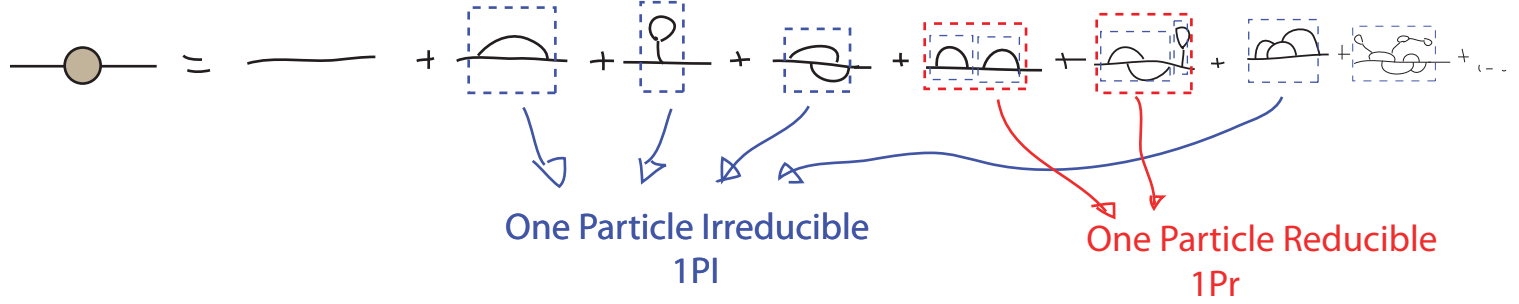
com isso agrupamos todas correções que só modificam o propagador nestas "pernas" - os **Propagadores Vestidos ou Completos**

Resta a parte que modifica o vértice da interação que chamamos de diagrama **Amputado**

Pensemos primeiro na estrutura dos propagadores:



Podemos dividir as correções em dois grupos:



Se definirmos um objeto que coleciona todas as correções 1PI:

$$-i M^2(p^2) = \rightarrow \text{1PI} \rightarrow$$

fica claro que as correções 1Pr serão dadas por:  $\text{1PI} + \text{1PI} \text{1PI} + \text{1PI} \text{1PI} \text{1PI} + \dots$

De forma que a função de dois pontos completa pode ser escrita como:

$$\begin{aligned}
 & \int d^4x \langle \Omega | T \{ \psi(x) \bar{\psi}(0) \} | \Omega \rangle e^{i p x} = \text{Diagrama} = \\
 & = \text{Diagrama} + \text{Diagrama com 1PI} + \text{Diagrama com 2PI} + \text{Diagrama com 3PI} + \dots = \\
 & = \frac{i}{p^2 - m_0^2} + \frac{i}{p^2 - m_0^2} (-i M^2) \frac{i}{p^2 - m_0^2} + \frac{i}{p^2 - m_0^2} (-i M^2) \frac{i}{p^2 - m_0^2} (-i M^2) \frac{i}{p^2 - m_0^2} + \dots = \\
 & = \frac{i}{p^2 - m_0^2} \left( 1 + (-i M^2) \frac{i}{p^2 - m_0^2} + (-i M^2) \frac{i}{p^2 - m_0^2} (-i M^2) \frac{i}{p^2 - m_0^2} + \dots \right) = \\
 & = \frac{i}{p^2 - m_0^2} \left( 1 - \frac{M^2}{p^2 - m_0^2} \right)^{-1} = \frac{i}{p^2 - m_0^2 - M(p^2)^2}
 \end{aligned}$$

O propagador completo é dado por uma função complicada, que envolve a **auto energia M**. Conforme a discussão das pags 76-77, sabemos que perto de  $p^0 = E_p$  o único polo presente é o da massa física:

$$\frac{i}{p^2 - m_0^2 - M(p^2)^2} \underset{p^0 \rightarrow E_p}{\sim} \frac{i Z}{p^2 - m^2} + (\text{função sem polos})$$

Isso quer dizer que se formos para a região:  $\left. \begin{array}{l} p_1^0 \rightarrow E_{p_1} \\ p_2^0 \rightarrow E_{p_2} \\ k_1^0 \rightarrow E_{k_1} \\ k_2^0 \rightarrow E_{k_2} \end{array} \right\}$

A função de quatro pontos terá o seu termo mais singular na forma:

$$\text{Diagrama de 4 pontos} = \frac{i Z}{p_1^2 - m^2} \frac{i Z}{p_2^2 - m^2} \frac{i Z}{k_1^2 - m^2} \frac{i Z}{k_2^2 - m^2} \text{Diagrama Amp.} + \dots$$

+ ... termos regulares

onde, do lado direito, resta apenas o vértice e suas correções (diagramas Amputados)

Comparando isto com o lado direito da fórmula de LSZ (eq. 83.1), reconhecemos os produtos dos polos e vemos que a matriz S deve ser:

$$\langle p_1 p_2 | S | k_1 k_2 \rangle = Z^2 \text{ Amp.}$$

Para fins de ilustração, no caso  $\lambda\phi^4$ , (em teoria de perturbação) tínhamos (pg 40):

$$\begin{aligned} \langle \Omega | T \{ \phi(x_1) \phi(x_2) \phi(y_1) \phi(y_2) \} | \Omega \rangle = \\ = -3 \left[ \text{diagrama desconectado} \right] - \frac{i\lambda}{4!} \left[ \text{diagrama com 2 propagadores} \right] + 27 \left[ \text{diagrama com 4 propagadores} \right] + \mathcal{O}(\lambda^2) \end{aligned}$$

desconectados  $(\Delta_F \Delta_F)$   $\Delta_F \Delta_F \Delta_F \Delta_F$

$$\begin{aligned} -i\lambda \int \Delta_F(z-x_1) \Delta_F(z-x_2) \Delta_F(z-x_3) \Delta_F(z-x_4) dz \\ = -i\lambda \int dz \int \frac{d^4k_1 d^4k_2 d^4k_3 d^4k_4}{(2\pi)^{16}} \frac{i e^{-ik_1(z-x_1)}}{k_1^2 - m_0^2} \dots \frac{i e^{-ik_4(z-x_4)}}{k_4^2 - m_0^2} = \end{aligned}$$

$$\begin{aligned} \int dz e^{-iz(\dots)} \rightarrow (2\pi)^4 \delta^4(k_1 + k_2 + k_3 + k_4) \\ = -i\lambda \int \frac{d^4k_1 d^4k_2 d^4k_3 d^4k_4}{(2\pi)^{16}} \frac{i}{k_1^2 - m_0^2} \dots \frac{i}{k_4^2 - m_0^2} \delta^4(k_1 + k_2 + k_3 + k_4) e^{ik_1 x_1} \dots e^{ik_4 y_4} \end{aligned}$$

que é a função no espaço das posições. Passando para o espaço dos momentos:

$$\begin{aligned} \int d^4k_1 e^{iP_1 x_1} \int d^4k_2 e^{iP_2 x_2} \int d^4k_3 e^{-ik_3 y_3} \int d^4k_4 e^{-ik_4 y_4} \langle \Omega | T \{ \phi(x_1) \phi(x_2) \phi(y_1) \phi(y_2) \} | \Omega \rangle = \\ = -i\lambda (2\pi)^4 \delta^4(-P_1 - P_2 + k_1 + k_2) \end{aligned}$$

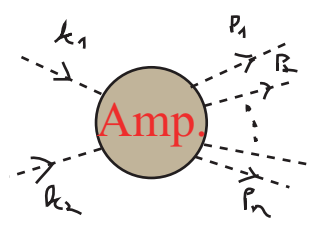
↑

↑ amputação

notem que nessa caso não temos o Z (pois estamos em Leading Order)

Uma análise equivalente para funções de mais pontos nos leva a:

$$\langle p_1 \dots p_n | S | k_1, k_2 \rangle = (\sqrt{Z})^{n+2}$$



Note que para campos com spin teríamos fatores de polarização no lado direito, tal como  $u_s(k)$  ou  $\epsilon_\mu(k)$

### Funções de Vértice

(Ryder 7.3)

Da mesma forma que fizemos para o propagador, podemos também definir uma soma para todas as correções do vértice (por exemplo em  $\lambda\phi^4$ ):

$$\begin{aligned}
 -i\lambda\Gamma &= \text{[tree]} + \text{[loop]} + \text{[2-loop]} + \text{[3-loop]} + \dots \\
 -i\lambda\Gamma(p_1, p_2, p_3, p_4) &= -i\lambda + \dots \\
 \Gamma(p_1, p_2, p_3, p_4) &= 1 + \dots
 \end{aligned}$$

No caso da QED:  $-ie\Gamma^\mu(p', p) = -ie\gamma^\mu + \dots$

$$\Gamma^\mu(p', p) = \gamma^\mu + \dots$$

Note que no caso da teoria  $\lambda\phi^4$  temos um vértice com 4 pernas externas e na QED com três. Podemos também (em ambas as teorias) definir uma função de vértice para duas pernas externas.

$$\begin{aligned}
 \Pi^{(2)}(p) &= \text{[tree]} + \text{[loop]} + \dots \\
 \Pi^{(2)}(p) &= \text{[tree]} + \text{[loop]} + \text{[2-loop]} + \dots
 \end{aligned}$$

Vamos ver como podemos definir estas funções para qualquer ordem o obter um funcional gerador para elas. Primeiro definimos:

$$\phi_{cl}(J(x)) = \frac{\delta W}{\delta J(x)} = -i \frac{1}{Z[J]} \frac{\delta Z[J]}{\delta J(x)}$$

$\frac{\delta Z[J]}{\delta J} = \langle 0 | \phi | 0 \rangle = 0$   
 $Z[J] = 1$   
 para  $J=0$

mas estamos pensando em  $J \neq 0$

$$\phi_{ce}(\bar{J}(x)) = -i \frac{\langle \Omega | \phi | \Omega \rangle_{\bar{J}}}{\langle \Omega | \Omega \rangle_{\bar{J}}}$$

Pensemos neste objeto em uma teoria escalar livre:

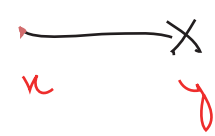
$$Z = \int d^4x \left( -\frac{1}{2} \phi(\Box + m^2)\phi + \phi \bar{J} \right) \rightarrow Z_0[\bar{J}] = e^{-\frac{i}{2} \int d^4x d^4y \bar{J}(x) \Delta_F(x-y) \bar{J}(y)}$$

$$\Delta_F(x) = \frac{1}{p^2 - m^2}$$

$$W_0 = -i \ln Z_0 = -\frac{1}{2} \int d^4x d^4y \bar{J}(x) \Delta_F(x-y) \bar{J}(y)$$

$$\phi_{ce}[\bar{J}(x)] = -\int d^4y \Delta_F(x-y) \bar{J}(y)$$

DIAGRAMA  $\Rightarrow$



↳ que é a solução clássica do sistema

$$d_\mu \left( \frac{\partial \mathcal{L}}{\partial(\partial_\mu \phi)} \right) - \frac{\partial \mathcal{L}}{\partial \phi} = 0$$

$$\mathcal{L} = \frac{1}{2} \partial_\mu \phi \partial^\mu \phi - \frac{1}{2} m^2 \phi^2 + \phi \bar{J}$$

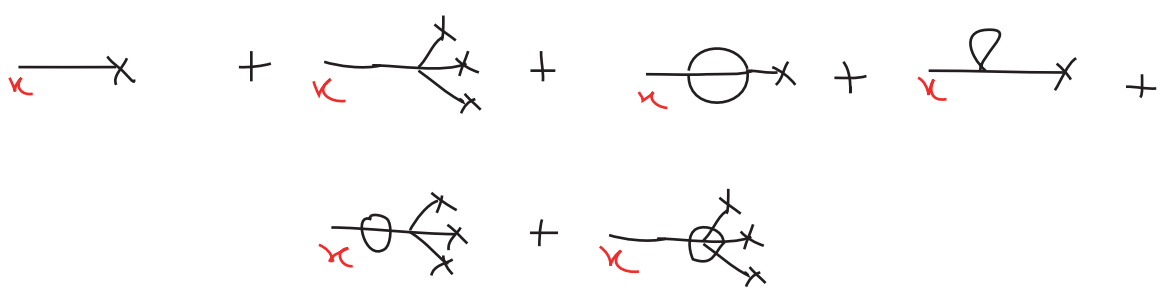
$$\frac{\partial \mathcal{L}}{\partial \phi} = -m^2 \phi + \bar{J}$$

$$\frac{\partial \mathcal{L}}{\partial(\partial_\mu \phi)} = \partial^\mu \phi$$

$$\Box \phi - m^2 \phi + \bar{J} = 0 \Rightarrow (\Box - m^2) \phi = -\bar{J}$$

$$\phi_{ce} = -(\Box - m^2)^{-1} \bar{J}$$

Supondo agora que eu "ligasse" a interação, as contribuições para esta função de um ponto seriam (pensando em  $\lambda \phi^4$ ):



Pensando em termos de diagramas 1PI (e em uma teoria mais geral):

$$\begin{aligned}
 \phi_a = & \text{diagrama 1PI} + \text{diagrama } \Gamma^1 + \text{diagrama } \Gamma^2 + \text{diagrama } \Gamma^2 \Gamma^1 + \text{diagrama } \Gamma^2 \Gamma^2 + \dots \\
 & \underbrace{\Delta_F(x-y) \Gamma^1}_{\Delta_F(x-y) \Gamma^1} \quad \underbrace{\Delta_F(x-y) \Gamma^2}_{\Delta_F(x-y) \Gamma^2} \quad \underbrace{\phi_a[\mathcal{J}]}_{\phi_a[\mathcal{J}]} \\
 & - \int d^4y \Delta_F(x-y) \mathcal{J}(y) \\
 & + \text{diagrama } \Gamma^3 + \dots \\
 & \underbrace{\Delta_F(x-y) \Gamma^3}_{\Delta_F(x-y) \Gamma^3} \phi_a[\mathcal{J}] \phi_a[\mathcal{J}]
 \end{aligned}$$

$$\begin{aligned}
 \phi_a(x) = & - \int d^4y \Delta_F(x-y) \left\{ \mathcal{J}(y) + \left( \Gamma^{(1)}(y) + \int d^4z \Pi^{(2)}(y,z) \phi_a(z) \right. \right. \\
 & \left. \left. + \frac{1}{2} \int d^4z d^4z' \Pi^{(3)}(y,z,z') \phi_a(z) \phi_a(z') + \dots \right) \right\} \\
 & \text{(eq. 89.1)}
 \end{aligned}$$

Vamos definir o funcional gerador para estas funções de vértice:

$$\hat{\Gamma}[\phi_a] \equiv \int d^4x \Gamma^{(1)}(x) \phi_a(x) + \frac{1}{2} \int d^4x d^4y \Pi^{(2)}(x,y) \phi_a(x) \phi_a(y) + \dots$$

$$\Gamma^{(n)}(x_1, \dots, x_n) = \frac{\delta}{\delta \phi_a(x_1)} \dots \frac{\delta}{\delta \phi_a(x_n)} \hat{\Gamma}[\phi_a] \Big|_{\phi_a=0}$$

Comparando isto com 89.1, temos:

$$\frac{\delta W}{\delta \mathcal{J}(x)} = \phi_a(\mathcal{J}(x)) = - \int d^4y \Delta_F(x-y) \left( \mathcal{J}(y) + \frac{\delta \hat{\Gamma}[\phi_a]}{\delta \phi_a(y)} \right)$$

$$(\square + m^2) \phi_a(\mathcal{J}(x)) = - \int d^4y \underbrace{(\square + m^2) \Delta_F(x-y)}_{-\delta(x-y)} \left( \mathcal{J}(y) + \frac{\delta \hat{\Gamma}[\phi_a]}{\delta \phi_a(y)} \right)$$

$$(\square + m^2) \phi_a(\mathcal{J}(x)) - \frac{\delta \hat{\Gamma}[\phi_a]}{\delta \phi_a(x)} = \mathcal{J}(x)$$

$$\frac{\delta}{\delta \phi_a(x)} \left( \underbrace{\hat{\Gamma}[\phi_a] - \frac{1}{2} \int d^4y \phi_a(\mathcal{J}(y)) (\square + m^2) \phi_a(\mathcal{J}(y))}_{\Gamma[\phi_a]} \right) = -\mathcal{J}(x) \quad (\text{eq. 90.1})$$

$$\left. \frac{\delta \Gamma}{\delta \phi_a(x)} \right|_{\phi_a=0} = -\mathcal{J}(x)$$

(eq. 90.1)

$$\left. \frac{\delta \Gamma}{\delta \phi_a(x) \delta \phi_a(y)} \right|_{\phi_a=0} = \underbrace{\Pi^{(2)}(x,y) - (\square + m^2) \delta(x-y)}_{\Gamma^{(2)}(x,y)}$$

$$n \geq 2 \Rightarrow \Gamma^{(n)}(x_1, \dots, x_n) = \frac{\delta}{\delta \phi_a(x_1)} \dots \frac{\delta}{\delta \phi_a(x_n)} \hat{\Gamma}[\phi_a] \Big|_{\phi_a=0}$$

Suponha que definamos  $\Gamma[\phi_a]$  com a expressão:

$$W[\mathcal{J}] = \Gamma[\phi_a] + \int d^4x \mathcal{J}(x) \phi_a(x)$$

(eq. 90.2)

$$\Rightarrow \frac{\delta W[\mathcal{J}]}{\delta \mathcal{J}(x)} = \phi_a(x)$$

(eq. 90.3)

$$\frac{\delta}{\delta \phi_a(y)} \left( \Gamma[\phi_a] = W[\mathcal{J}] - \int d^4x \mathcal{J}(x) \phi_a(x) \right)$$

$$\frac{\delta \Gamma[\phi_a]}{\delta \phi_a(y)} = \underbrace{\frac{\delta W[\mathcal{J}]}{\delta \phi_a(y)}}_{\frac{\delta W[\mathcal{J}]}{\delta \mathcal{J}(y)} \frac{\delta \mathcal{J}(y)}{\delta \phi_a(y)}} - \frac{\delta \mathcal{J}(y)}{\delta \phi_a(y)} \phi_a(y) - \mathcal{J}(y)$$



$$\frac{\delta W[\mathcal{J}]}{\delta \mathcal{J}(y)} \frac{\delta \mathcal{J}(y)}{\delta \phi_a(y)} \Big|_{\phi_a = \phi_a(y)}$$

$$\frac{\delta \Gamma[\phi_a]}{\delta \phi_a(y)} = -\mathcal{J}(y)$$

que é justamente como o definimos antes (eq. 90.1)

Note que a função 1PI de dois pontos é  $\Pi^{(2)}(x, y)$  e não  $\Gamma^{(2)}(x, y)$

Temos uma interpretação para  $\Gamma^{(2)}$  ?

TEORIA LIVRE  
 $\Delta_F^C(x-y) = i \Delta_F(x-y) = \frac{-i}{p^2 - m_0^2}$

$$\phi_a(x) = \frac{\delta W}{\delta J(x)} \quad \Delta_F^C(x-y) \text{ Propagador completo}$$

$$\frac{\delta \phi_a(x)}{\delta J(y)} = \frac{\delta^2 W}{\delta J(y) \delta J(x)} = i \langle n | T \{ \phi_a(x) \phi(y) \} | n \rangle$$

EQ 89.1

$$-\Delta_F(x-y) \left( 1 + \int d^4z \Pi^{(2)}(y, z) \frac{\delta \phi_a(z)}{\delta J(y)} + \dots \right) = i \Delta_F^C(x-y)$$

$i \Delta_F^C(z-y) \rightarrow 0 \text{ / } \mathcal{J} = \phi_a = 0$

Quando faço  $J=0 \rightarrow \phi_a = 0$  (eq 88)

$$-\Delta_F(x-y) - i \Delta_F(x-y) \int d^4z \Pi^{(2)}(y, z) \Delta_F^C(z-y) = i \Delta_F^C(x-y)$$

$$-(\square+m)^2_x \left( \int d^4z \left( \delta^4(z-x) + \Delta_F(x-y) \Pi^{(2)}(y, z) \right) \Delta_F^C(z-y) = i \Delta_F(x-y) \right)$$

$$\int d^4z \left( \underbrace{-(\square+m)^2_x \delta^4(z-x) + \delta(x, y) \Pi^{(2)}(y, z)}_{\Gamma^{(2)}(x, z) \text{ (eq 90)}} \right) \Delta_F^C(z-y) = i \mathcal{J}(x-y)$$